

بِسْمِ اللّٰهِ الرَّحْمٰنِ الرَّحِيْمِ

دانشکده فنی  
گروه نساجی  
گرایش شیمی نساجی و علوم الیاف

## بررسی امکان تولید نانوالیاف کربن فعال به منظور حذف آلاینده ها

از

سعیده رفیعی

اساتید راهنما  
دکتر اکبر خداپرست حقی  
دکتر بابک نوروزی

استاد مشاور  
دکتر شهرام ارباب

اسفند ماه ۱۳۸۹

ب

تقدیم به پدر بزرگوار

و مادر مهر بانم

که بدون یاری مهر ایشان پیمودن این راه ممکن نمی نمود

حمد و سپاس فراولن خداوند مهربان را.....

حال که توفیق ارائه این اثر را دارم بر خود واجب می‌دانم از همه عزیزانی که مرا در انجام این تحقیق یاری نمودند، قدرانی کنم. از استاد بزرگوارم جناب آقای دکتر بابک نوروزی که با صبر و حوصله راهنمایی این جانب را در تهیه این پایان‌نامه بر عهده داشتند، کمال تشکر و قدردانی را دارم. از جناب آقای دکتر شهرام ارباب استاد مشاور پایان‌نامه که سنتی‌های مسیر را با لطف فراوانشان بر من هموار نمودند، صمیمانه سپاسگزاری می‌کنم. همچنین از جناب آقای دکتر اکبر خداپرست حقی که مرا از نظرات ارزشمند خود بهره‌مند نمودند، کمال تشکر را دارم. بر خود لازم می‌دانم از خدمات جناب آقای دکتر وحید متقدی طلب مدیر گروه گرامی و کارشناسان محترم آرمایشگاههای نسبتی سرکار فانم مهندس امامقلی پور، سرکار فانم مهندس غمکسار و سرکار فانم مهندس طهماسبی که همکاریهای بی‌دریغ آنها در تمام مراحل این پژوهه یاری بخش من بوده، کمال تشکر را دارم. خدمات و فعالیتهای خانواده بزرگوارم را که همواره مشوق من در کسب مدارج علمی بودند را ارج می‌نهم. در نهایت مراتب تشکر خود را از کلیه دوستانی که به هر نهی در طول مدت انجام این پایان نامه مرا یاری رساندند را جمله فانم مهندس مهدیه دشتی، نگین پیری و زهرا مریدی ابراز می‌نمایم.

## فهرست مطالب

|               |   |
|---------------|---|
| .....ج        | فهرست اشکال   |
| .....خ        | فهرست جداول   |
| .....ذ        | چکیده فارسی   |
| .....ر        | چکیده انگلیسی   |
| ۱.....۱       | فصل ۱: مقدمه و مروری بر منابع                                     |
| ۲.....۲       | پیشگفتار  |
| ۳.....۳       | ۱- مقدمه ای بر الیاف با کارایی بالا                               |
| ۴.....۴       | ۲- الیاف کربن به عنوان یکی از مهم ترین انواع الیاف با کارایی بالا |
| ۵.....۵       | ۳- تاریخچه الیاف کربن   |
| ۵.....۵       | ۴- طبقه بندی الیاف کربن   |
| ۱-۵-۱.....۱   | ۵- خصوصیات الیاف کربن   |
| ۱-۵-۲.....۶   | ۶- پایداری شیمیایی  |
| ۱-۶.....۶     | ۷- ماده اولیه یا پیش ماده الیاف کربن                              |
| ۱-۶-۱.....۶   | ۸- پلی اکریلونیتریل به عنوان ماده اولیه سازنده الیاف کربن         |
| ۱-۶-۲.....۸   | ۹- روش تولید پلی اکریلو نیتریل                                    |
| ۱-۶-۳.....۱۰  | ۱۰- ساختار شیمیایی الیاف پلی اکریلونیتریل                         |
| ۱-۷.....۱۱    | ۱۱- تولید الیاف کربن از پیش ماده پلی اکریلونیتریل                 |
| ۱-۸.....۱۲    | ۱۲- پایدار سازی الیاف پلی اکریلونیتریل                            |
| ۱-۸-۱.....۱۳  | ۱۳- واکنش های ترموشیمیایی رخ داده در مرحله پایدار سازی حرارتی     |
| ۱-۸-۲.....۱۵  | ۱۴- واکنش اکسیداسیون  |
| ۱-۸-۳.....۱۷  | ۱۵- فرایند هیدروژن زدایی  |
| ۱-۸-۴.....۱۷  | ۱۶- واکنش حلقوی سازی  |
| ۱-۸-۵.....۱۸  | ۱۷- درجه حرارت مناسب برای پایدار سازی                             |
| ۱-۸-۶.....۱۹  | ۱۸- اتمسفر مناسب در مرحله پایدار سازی حرارتی                      |
| ۱-۸-۷.....۲۰  | ۱۹- کربنیزاسیون الیاف پلی اکریلونیتریل پایدار شده                 |
| ۱-۸-۸.....۲۱  | ۲۰- ترکیبات گازی خارج شده از ساختار لیف در طی کربنیزاسیون         |
| ۱-۸-۹.....۲۲  | ۲۱- اتمسفر مناسب در عملیات کربنیزاسیون                            |
| ۱-۸-۱۰.....۲۳ | ۲۲- خواص الیاف در مرحله کربنیزاسیون                               |
| ۱-۸-۱۱.....۲۳ | ۲۳- کاهش وزن الیاف در طی کربنیزاسیون                              |
| ۱-۸-۱۲.....۲۴ | ۲۴- حذف نیتروژن در فرایند کربنیزاسیون                             |

|   |           |
|---|-----------|
| ۱۰-۱- گرافیته کردن  | ۲۴        |
| ۱۱-۱- کاربردهای الیاف کربن  | ۲۵        |
| ۱۲-۱- تولید و مصرف الیاف کربن بر پایه الیاف پلی اکریلونیتریل                          | ۲۶        |
| ۱۳-۱- فعال سازی الیاف کربن  | ۲۷        |
| ۱۴-۱- خصوصیات الیاف کربن فعال   | ۲۹        |
| ۱۵-۱- برتری الیاف کربن نسبت به کربن فعال  | ۲۹        |
| ۱۶-۱- مقدمه ای بر فن آوری نانو  | ۳۰        |
| ۱۷-۱- کنکاشی در روش الکترورسی   | ۳۱        |
| ۱۸-۱- پارامترهای مؤثر بر فرآیند الکترورسی   | ۳۴        |
| ۱۹-۱- غلظت محلول پلیمری   | ۳۵        |
| ۲۰-۱- ولتاژ اعمالی  | ۳۶        |
| ۲۱-۱- فاصله نوک سوزن تا جمع کننده (فاصله رسندگی)                                      | ۳۶        |
| ۲۲-۱- نانو الیاف کربن   | ۳۸        |
| ۲۳-۱- ساختار نانو الیاف کربن  | ۴۱        |
| ۲۴-۱- نانو الیاف کربن بر پایه پلی اکریلونیتریل  | ۴۳        |
| ۲۵-۱- تولید نانوالیاف کربن از سایر مواد اولیه   | ۴۴        |
| ۲۶-۱- فعال سازی نانو الیاف کربن   | ۴۶        |
| ۲۷-۱- فعال سازی فیزیکی  | ۴۷        |
| ۲۸-۱- فعال سازی شیمیایی   | ۴۸        |
| <b>فصل ۲: مواد دو روش ها (تجربیات)</b>  | <b>۵۲</b> |
| ۲-۱- مواد مورد استفاده  | ۵۳        |
| ۲-۲- دستگاههای مورد استفاده   | ۵۳        |
| ۲-۳- مراحل انجام کار  | ۵۵        |
| ۲-۴- مرحله الکترورسی  | ۵۵        |
| ۲-۵- مرحله پایدار سازی  | ۵۷        |
| ۲-۶- مرحله کربنیز اسیون و فعال سازی   | ۶۰        |
| <b>فصل ۳: نتایج و بحث</b>   | <b>۶۱</b> |
| ۳-۱- بررسی نتایج کالریمتری پویشی اختلافی نانو الیاف پلی اکریلونیتریل خام و پایدار شده | ۶۲        |
| ۳-۲- روش آنالیز   | ۶۲        |
| ۳-۳- روش کیسینجر  | ۶۶        |
| ۳-۴- روش اوزاوا   | ۶۸        |

|   |     |
|---|-----|
| ۴-۱-۳- محاسبه پارامترهای کینتیکی واکنش پایدارسازی.....                      | ۷۰  |
| ۵-۱-۳- محاسبه اندیس حلقوی ساری با استفاده از آنتالپی.....                   | ۷۲  |
| ۲-۳- بررسی میکروگرافهای SEM.....  | ۷۳  |
| ۱-۲-۳- بررسی درصد کاهش قطر در طی پایدار سازی.....                           | ۷۴  |
| ۲-۲-۳- بررسی درصد کاهش قطر در طی کربنیزاسیون.....                           | ۷۸  |
| ۳-۳- بررسی طیف های FTIR نمونه های پلی اکریلونیتریل اولیه و پایدار شده ..... | ۸۳  |
| ۲-۳-۳- بررسی اثر دما بر بازده پایدار سازی.....                              | ۸۴  |
| ۳-۳-۳- بررسی اثر نرخ افزایش دما بر بازده پایدار سازی.....                   | ۸۵  |
| ۴-۳-۳- بررسی اثر زمان بر بازده پایدار سازی.....                             | ۸۷  |
| ۳-۳-۳- محاسبه بازده نمونه های منتخب برای مرحله کربنیزاسیون.....             | ۸۹  |
| ۴-۳- بررسی نتایج آزمایش BET.....  | ۹۳  |
| ۱-۴-۳- تئوری جذب BET.....   | ۹۳  |
| ۲-۴-۳- کاربرد تئوری BET در جذب فیزیکی گازها.....                            | ۹۴  |
| ۳-۴-۳- روش آنالیز.....  | ۹۵  |
| ۳- بررسی نتایج XRD.....   | ۹۷  |
| ۳-۱-۵- بررسی طیفهای XRD نمونه های خام و پایدار شده .....                    | ۹۷  |
| ۱-۱-۵-۳- محاسبه اندیس پایدار شدگی.....                                      | ۹۹  |
| ۲-۵-۳- مقایسه طیف های XRD سه نمونه خام، پایدار شده و کربنیزه شده .....      | ۱۰۱ |
| ۶- بررسی هدایت الکتریکی نمونه ها.....                                       | ۱۰۳ |
| ۴: نتیجه گیری و پیشنهادات .....   | ۱۰۶ |
| مراجع.....  | ۱۰۹ |
| پیوست.....  | ۱۱۷ |

## فهرست اشکال

|          |  |
|----------|--|
| ..... ۷  | ..... شکل ۱-۱: ساختار شیمیایی PAN  |
| ..... ۹  | ..... شکل ۱-۲: پلیمریزاسیون اکریلونیتریل   |
| ..... ۱۳ | ..... شکل ۱-۳: تغییرات رنگ الیاف در طی پایدارسازی  |
| ..... ۱۴ | ..... شکل ۱-۴: ساختار نردبانی الیاف PAN پایدارشده  |
| ..... ۱۴ | ..... شکل ۱-۵: موقع واکنشها در مرحله پایدارسازی به صورت شماتیک   |
| ..... ۱۵ | ..... شکل ۱-۶: ساختار PAN اکسید شده با ترکیب اکسیژن به صورت کتونی  |
| ..... ۱۶ | ..... شکل ۱-۷: ساختار PAN اکسید شده با ترکیب اکسیژن با اتصالات اتری  |
| ..... ۱۶ | ..... شکل ۱-۸: تبدیل ساختار PAN به ساختارهای کتونیک و آروماتیک پس از اکسیداسیون                              |
| ..... ۱۷ | ..... شکل ۱-۹: واکنش هیدروژن زدایی الیاف PAN حلقوی و غیر حلقوی   |
| ..... ۱۸ | ..... شکل ۱-۱۰: واکنش حلقوی سازی الیاف PAN   |
| ..... ۲۱ | ..... شکل ۱-۱۱: تشکیل الیاف کربن بعد از تشکیل پلیمر نردبانی شکل  |
| ..... ۲۲ | ..... شکل ۱-۱۲: میزان خروج ترکیبات گازی از ساختار الیاف اکسید شده در محدوده دمایی $200-1000^{\circ}\text{C}$ |
| ..... ۲۳ | ..... شکل ۱-۱۳: کاهش وزن در طی عملیات حرارتی کربنیزاسیون   |
| ..... ۲۵ | ..... شکل ۱-۱۴: ساختار شماتیک الیاف کربن   |
| ..... ۲۷ | ..... شکل ۱-۱۵: بزرگترین تولید کننده های الیاف کربن از پیش ماده پلی اکریلونیتریل را در جهان                  |
| ..... ۳۴ | ..... شکل ۱-۱۶: دستگاه الکتروریس به طور شماتیک   |
| ..... ۳۹ | ..... شکل ۱-۱۷: نمایی از مکانیسم سنتز نانو الیاف کربن به روش تجزیه کاتالیستی هیدروکربن ها                    |
| ..... ۳۹ | ..... شکل ۱-۱۸: شمایی از روش بخار را برای تولید نانو الیاف کربن  |
| ..... ۴۲ | ..... شکل ۱-۱۹: نمایی شماتیک از ساختارهای مختلف نانو الیاف کربن  |
| ..... ۴۴ | ..... شکل ۱-۲۰: تنظیمات دستگاه الکتروریسی برای تولید الیاف موazی   |
| ..... ۵۰ | ..... شکل ۱-۲۱: مکانیسم فعال سازی نانو الیاف کربن به وسیله KOH   |
| ..... ۵۴ | ..... شکل ۱-۲: دستگاه FTIR مورد استفاده  |
| ..... ۵۴ | ..... شکل ۲-۲: میکروسکوپ الکترونی پویشی مورد استفاده   |
| ..... ۵۵ | ..... شکل ۲-۳: دستگاه لایه نشانی طلای مورد استفاده   |
| ..... ۵۶ | ..... شکل ۴-۲: شمایی دستگاه الکتروریس مورد استفاده   |
| ..... ۵۸ | ..... شکل ۵-۲: نمونه های پایدار شده در دماهای مختلف ۱۸۰، ۲۰۰، ۲۲۰ و ۲۷۰ درجه سانتیگراد                       |
| ..... ۶۰ | ..... شکل ۶-۲: تصویر وبهای الکتروریسی شده بر روی ورقه های استیل  |
| ..... ۶۴ | ..... شکل ۱-۳: منحنی های DSC برای نمونه های PAN با نرخ افزایش دمای مختلف                                     |
| ..... ۶۵ | ..... شکل ۲-۳: منحنی های DSC برای نمونه های گروه A، B و C  |
| ..... ۷۴ | ..... شکل ۳-۳: تصاویر SEM نانو الیاف پلی اکریلونیتریل در بزرگنمایی های مختلف                                 |

|   |     |
|---|-----|
| شکل ۴-۳: تصاویر SEM نانو الیاف <sub>۵</sub> SPAN در بزرگنمایی های مختلف.....                        | ۷۵  |
| شکل ۳-۵: تصاویر SEM نانو الیاف <sub>۶</sub> SPAN در بزرگنمایی های مختلف.....                        | ۷۶  |
| شکل ۳-۶: تصاویر SEM نانو الیاف <sub>۱</sub> SPAN در بزرگنمایی های مختلف.....                        | ۷۷  |
| شکل ۳-۷: تصاویر SEM نانو الیاف <sub>۱</sub> CNF در بزرگنمایی های مختلف.....                         | ۷۹  |
| شکل ۳-۸: تصاویر SEM نانو الیاف <sub>۲</sub> CNF در بزرگنمایی های مختلف.....                         | ۸۰  |
| شکل ۳-۹: تصاویر SEM نانو الیاف <sub>۳</sub> CNF در بزرگنمایی های مختلف.....                         | ۸۱  |
| شکل ۳-۱۰: روند تبدیل نانو الیاف PAN به CNF در بزرگنمایی مختلف.....                                  | ۸۲  |
| شکل ۱۱-۳: طیف های FTIR نمونه های پایدار شده در دماهای مختلف.....                                    | ۸۵  |
| شکل ۱۲-۳: طیف های FTIR نمونه های پایدار شده در نرخ حرارت دهی مختلف.....                             | ۸۶  |
| شکل ۱۳-۳: طیف های FTIR نمونه های پایدار شده در زمان های مختلف در ۲۵۰°C.....                         | ۸۸  |
| شکل ۱۴-۳: طیف های FTIR نمونه های پایدار شده در زمان های مختلف در ۲۲۰°C.....                         | ۸۹  |
| شکل ۱۵-۳: طیف های FTIR نمونه های منتخب برای کربنیزاسیون.....  | ۹۱  |
| شکل ۱۶-۳: طیف های XRD نمونه های خام و پایدار شده.....   | ۹۸  |
| شکل ۱۷-۳: قانون برآگ به صورت شماتیک .....   | ۹۸  |
| شکل ۱۸-۳: نحوه قرار گیری زاویه ۲θ به صورت شماتیک.....   | ۹۹  |
| شکل ۱۹-۳: طیف های XRD سه نمونه خام و پایدار شده و کربنیزه شده.....                                  | ۱۰۲ |
| شکل ۲۰-۳: اثر دمای کربنیزاسیون بر هدایت الکتریکی.....   | ۱۰۵ |
| شکل ۲۱-۳: اثر دمای کربنیزاسیون بر مقاومت الکتریکی.....  | ۱۰۵ |
| شکل پ - ۱ : نمودارهای کیسینگر برای نمونه های A تا B در دماهای T <sub>1</sub> و T <sub>2</sub> ..... | ۱۱۸ |
| شکل پ - ۲ : نمودارهای ازاوا برای نمونه های A تا B در دماهای T <sub>1</sub> و T <sub>2</sub> .....   | ۱۱۹ |

## فهرست جداول

|   |    |
|---|----|
| جدول ۱-۱: چند حلال پلی اکریلونیتریل.....  | ۱۰ |
| جدول ۱-۲: مقایسه ترکیبات موجود در الیاف پایدار شده و پیش ماده PAN                                 | ۱۹ |
| جدول ۱-۳: خصوصیات فیزیکی الیاف پایدار شده PAN   | ۲۰ |
| جدول ۱-۴: خروج ترکیبات گازی از ساختار لیف در محدوده دمایی $200 - 1000^{\circ}\text{C}$            | ۲۲ |
| جدول ۱-۵: تقسیم بندی حفره ها بر اساس طبقه بندی IUPAC  | ۲۸ |
| جدول ۱-۶: مقایسه روش های مختلف به کار رفته برای تولید نانو الیاف                                  | ۳۲ |
| جدول ۱-۷: پارامترهای مؤثر بر فرآیند رسنگی.....  | ۳۵ |
| جدول ۱-۸: مساحت سطح و بازده استفاده از مواد فعال کننده متفاوت.....                                | ۴۸ |
| جدول ۱-۹: شرایط گزارش شده در مقالات برای تولید ACNF   | ۵۱ |
| جدول ۲-۱: میانگین قطر در شرایط مختلف الکتروریسی.....  | ۵۶ |
| جدول ۳-۱: نمونه های آنالیز شده در تست DSC   | ۶۳ |
| جدول ۳-۲: رفتار حرارتی PAN در نرخ های افزایش دمایی متفاوت.....                                    | ۶۴ |
| جدول ۳-۳: پارامترهای کیسینجر محاسبه شده برای هر دسته از نمونه ها                                  | ۶۷ |
| جدول ۳-۴: انرژی فعال سازی و آنتالپی نمونه ها محاسبه شده به روش کیسینجر.                           | ۶۸ |
| جدول ۳-۵: پارامترهای اوزاوای محاسبه شده برای هر دسته از نمونه ها                                  | ۶۹ |
| جدول ۳-۶: انرژی فعال سازی و آنتالپی نمونه ها محاسبه شده به روش اوزاوای                            | ۷۰ |
| جدول ۳-۷: مقایسه نتایج روشهای اوزاوای کیسینجر.....  | ۷۱ |
| جدول ۳-۸: محاسبه اندیس حلقوی سازی با استفاده از آنتالپی   | ۷۳ |
| جدول ۳-۹: شرایط نمونه های پایدار شده مورد مطالعه با DSC   | ۷۳ |
| جدول ۳-۱۰: اثر دما بر روی درصد کاهش قطر در طی پایدار سازی.....                                    | ۷۵ |
| جدول ۳-۱۱: اثر زمان بر روی درصد کاهش قطر در طی پایدار سازی .....                                  | ۷۷ |
| جدول ۳-۱۲: اثر دما بر روی درصد کاهش قطر در طی کربنیزاسیون.....                                    | ۷۸ |
| جدول ۳-۱۳: اثر زمان بر روی درصد کاهش قطر در طی کربنیزاسیون.....                                   | ۷۸ |
| جدول ۳-۱۴: بررسی اثر دما بر بازده پایدار سازی.....  | ۸۴ |
| جدول ۳-۱۵: بررسی اثر نرخ افزایش دمای کوره بر بازده پایدار سازی.....                               | ۸۶ |
| جدول ۳-۱۶: بازده نمونه های پایدار شده با دمای یکسان $250^{\circ}\text{C}$ و زمان های متفاوت ..... | ۸۷ |
| جدول ۳-۱۷: بازده نمونه های پایدار شده با دمای یکسان $270^{\circ}\text{C}$ و زمان های متفاوت ..... | ۸۹ |
| جدول ۳-۱۸: محاسبه بازده و درصد کاهش وزن برای نمونه های منتخب.....                                 | ۹۰ |
| جدول ۳-۱۹: تغییرات درصد کاهش وزن با افزایش نرخ گرمادهی.....                                       | ۹۲ |
| جدول ۳-۲۰: تغییرات درصد کاهش وزن با افزایش زمان.....  | ۹۲ |

|  |     |
|--|-----|
| جدول ۲۱-۳: تغییرات درصد کاهش وزن با افزایش دما.....  | ۹۲  |
| جدول ۲۲-۳: نتایج BET برای نمونه های فعال شده.....  | ۹۶  |
| جدول ۲۳-۳: انواع حفره ها و زیر مجموعه های آنها .....   | ۹۷  |
| جدول ۲۴-۳: پارامتر های کریستالو گرافی برای نمونه های پایدار شده.....                               | ۱۰۰ |
| جدول ۲۵-۳: پارامترهای کریستالوگرافی نانو الیاف PAN در سه مرحله خام، پایدار شده و کربنیزه شده ..... | ۱۰۳ |
| جدول ۲۶-۳: هدایت الکتریکی، مقاومت و مقاومت ویژه نمونه های PAN و SPAN و CNF در دمای های مختلف ..... | ۱۰۴ |

## چکیده

بررسی امکان تولید نانوالیاف کربن فعال به منظور حذف آلاینده ها

سعیده رفیعی

در دهه اخیر نانوالیاف کربن به علت ویژگی هایی همچون مساحت سطح و نسبت طول به قطر زیاد، به عنوان جاذبی مؤثر در حذف آلاینده های آب و پساب، مورد توجه قرار گرفته است. افزایش تخلخل سطحی و مساحت سطح ویژه نانو الیاف کربن به وسیله روش‌های فعال سازی فیزیکی و شیمیایی، سبب بالا رفتن بازده آنها در حذف آلاینده ها شده است.

در این تحقیق، نانو الیاف کربن فعال در سه مرحله الکتروریسی محلول پلی اکریلو نیتریل در دی متیل فرمامید به عنوان پیش ماده، پایدارسازی نانوالیاف الکتروریسی شده و کربنیزاسیون و فعال سازی فیزیکی همزمان نانوالیاف پایدار شده در اتمسفر گاز نیتروژن، تولید شد. در هر یک از مراحل تولید، شرایط بهینه با تغییر پارامترهای مؤثر بر فرایند و آنالیز محصول نهایی انتخاب شد. در مرحله الکتروریسی، پارامترهای مؤثر بر قطر و یکنواختی و بحاصل از جمله غلظت محلول، ولتاژ اعمال شده و نرخ تغذیه به وسیله تصاویر SEM مورد مطالعه قرار گرفت. اثر متغیر های فرایند پایدارسازی مانند دما، زمان ماندگاری و نرخ افزایش دما بر پیشرفت واکنش به وسیله مطالعات FTIR، DSC و XRD ارزیابی شد.

خصوصیت سطحی نانوالیاف کربن متخلف نهایی به وسیله اندازه گیری جذب نیتروژن با استفاده از معادله BET بررسی شد. نتایج نشان داد که مساحت سطح ویژه، تخلخل و حجم کلی حفره ها در طی فعال سازی فیزیکی افزایش می یابد. افزایش دمای فعال سازی از ۸۰۰ به  $1200^{\circ}\text{C}$  منجر به بهبود تخلخل سطحی، حجم حفره و مساحت سطح ویژه به ترتیب تا مقادیر  $0.532\text{ cm}^2/\text{g}$  و  $840\text{ cm}^3/\text{g}$  شد. پهنای حفره در تمام نمونه های فعال شده در حدود  $70\text{ نانومتر}$  بود که وجود ساختار میکرومتخلف را برای آنها تأیید می کند. طیف های XRD نمونه های کربنیزه شده ساختار کریستالی هگزاگونال را با فاصله بین صفحه  $368\text{ نانومتر}$  نشان داد که به فاصله بین صفحات گرافیتی ( $335\text{ نانومتر}$ ) نزدیک است و تبدیل قابل توجه نانوالیاف اولیه را به نانوالیاف کربن نشان می دهد.

کلید واژه: الکتروریسی، پلی اکریلونیتریل، نانوالیاف کربن، فعال سازی، تخلخل

## **Abstract**

### **The survey of activated carbon nano fiber production for the removal of pollutants**

Saeedeh Rafiei

In the last decade, carbon nanofibers have become a great point of interest for the removal of pollutants from water and wastewater as an effective adsorbent. Increasing of porosity and specific surface area of carbon nanofibers by physical and chemical activation methods enhances their efficiency in adsorption process.

In the present work, activated carbon nanofibers were produced in three steps consist of electrospinning of polyacrylonitrile solution in dimethyle formamide as a precursor, stabilization of electrospun web and simultaneous carbonization and physical activation of stabilized nanofibers in N<sub>2</sub> atmosphere. In each step, the optimum conditions were selected by changing the effective parameters. In electrospinning process, the effective parameters including concentration, applied voltage and feeding rate on precursor diameter and final webs uniformity were studied by SEM. The effects of stabilization parameters such as temperature, dwelling time and heating rate on the extent of stabilization reaction were evaluated using FTIR, DSC and XRD techniques.

Porosity and surface structure of produced activated carbon nanofibers were analyzed by nitrogen adsorption measurements, i.e. BET equation. Results revealed that specific surface area, porosity and the total pore volume of obtained activated carbon nanofibers enhanced during physical activation. Increasing the activation temperature from 800 to 1200°C caused porosity and pore volume development up to 60% and 0.532 cm<sup>3</sup>/g, respectively. Results also showed that activation temperature of 1200°C for one hour leads to the desirable specific surface area of 840m<sup>2</sup>/g. Pore width of all samples was calculated about 0.7 nanometer confirmed the microporous structure of produced PAN based activated carbon nanofibers. XRD patterns of the carbon nanofibers revealed hexagonal crystal structures with d-spacing of 0.368 nm which is near to the graphit d-spacing (0.335) indicating proper conversion of precursor to carbon nanofibers.

**Keywords:** electrospinning, Polyacrylonitrile, carbon nanofiber, activation, porosity

فصل اول

مقدمه و

مروری بر منابع

## پیشگفتار

در سالهای اخیر مواد متخلخل با توجه به قابلیت کاربردی متنوع در بخش‌های مختلف علوم شامل شیمی، بیوتکنولوژی و... توجه زیادی را به خود جلب کرده‌اند. معرفی مواد متخلخل در اندازه نانو دریچه‌ای به سوی دستیابی به مواد جاذب پر بازده می‌باشد. از طرفی دیگر، مواد لیفی شکل نیز به علت مساحت سطح و نسبت طول به قطر زیاد، به طور وسیعی در ساخت مواد جاذب به کار رفته‌اند. تلفیق ویژگی‌های الیاف به همراه تخلخل‌های نانو در نانوالیاف متخلخل منجر به ایجاد مساحت سطح ویژه‌ی فوق العاده زیادی می‌شود. نانوالیاف کربن فعال یکی از معروف‌ترین نانو الیاف متخلخل هستند که به عنوان شکل تکامل یافته کربن فعال در فرایند جذب مورد توجه قرار گرفته‌اند. مزیت‌های نانوالیاف کربن فعال نسبت به کربن فعال از جمله سرعت جذب و واجذب و انعطاف‌پذیری بالا، سبب شده است که تحقیقات زیادی در زمینه بهینه و صنعتی سازی روش تولید آن صورت بگیرد.

الکتروریسی محلول پلی اکریلو نیتریل، پایدارسازی و به دنبال آن کربنیزاسیون و فعال سازی نانوالیاف نهایی یکی از ساده‌ترین و کم هزینه‌ترین روش تولید شناخته شده است. در این راستا هدف در این پروژه تولید نانو الیاف کربن فعال بر پایه پلی اکریلونیتریل و بررسی خواص آن می‌باشد.

### ۱-۱- مقدمه‌ای بر الیاف با کارایی بالا

بعد از الیاف طبیعی و مصنوعی که بیشتر به منظور تهیه پوشاك، منسوجات خانگی و کاربردهای مشابه تولید می‌گردند، الیاف با کارایی بالا، نسل سومی از الیاف را تشکیل می‌دهند که با توجه به خواص خود برای کاربردهای ویژه، با طیف گسترده مورد استفاده قرار می‌گیرند. الیاف با کارایی بالا بیشتر به صورت کامپوزیت تولید می‌شوند. نمونه‌هایی از این کاربردها به شرح زیر است [۱]:

- هواپیماسازی و سفینه‌های فضایی
- الکترونیک و عمران
- سقف پارچه‌ای
- بدنه و لاستیک ماشین
- انواع فیلترهای هوا و مواد شیمیایی
- لباس‌های ایمنی مثل جلیقه‌های ضد گلوله و لباس‌های ضد آتش و ..

بر خلاف الیاف معمولی که به ارجاعیت برگشت پذیر (الاستیک) در حدود ۳۰-۴۰٪ احتیاج داشته و استحکام آن‌ها کمتر اهمیت دارد، ویژگی‌های زیر مشخصه‌های اصلی الیاف با کارایی بالا با توجه به نوع کاربرد آن‌ها به شمار می‌آید [۱] :

- استحکام و سختی حداکثر
- ارجاعیت حداقل
- مدول اولیه بالا
- ثبات ابعادی بالا
- مقاومت بالا در برابر گرما و مواد شیمیایی
- وزن مخصوص کم
- مساحت سطح ویره بالا
- نسبت طول به قطر بالا

الیاف زیر در نساجی به عنوان الیاف یا کارایی بالا شناخته میشوند:

- الیاف سرامیکی و الیاف غیر آلی دیگر
- الیاف کربن یا گرافیت
- الیاف آرامید
- پلی اتیلن مدول بالا
- الیاف شیشه

## ۱-۲-الیاف کربن به عنوان یکی از مهم ترین انواع الیاف با کارایی بالا

الیاف کربن به علت استحکام زیاد و در عین حال وزن کم بیشتر به صورت کامپوزیت در صنایعی مثل هواپیماسازی، سفینه های فضایی، ماشین های مسابقات اتومبیل رانی، لوازم ورزشی، فیلتر، لباس های ایمنی و موارد دیگر مورد استقبال زیاد قرار گرفته است. الیاف کربن شبکه بلورین کامل همانند گرافیت را دارا نمی باشد. مقدار انحراف از این حالت ایده ال به ماده اولیه و فرایند تولید آن بستگی دارد. تحقیقات نشان داده است که در الیاف کربن با استحکام و مدول بالا صفحات گرافیتی اکثراً به موازات محور لیف قرار دارد هر چند این صفحات نسبت به جهت عمود بر لیف جهت گیری خاصی ندارد. الیاف کربن دارای قابلیت هدایت گرمایی بالایی می باشند. که با هدایت گرمایی مس و آلومینیوم قابل مقایسه است. الیاف کربن بر مبنای ماده اولیه سازنده به صورت زیر طبقه بندی می شود<sup>[۱]</sup>:

- بر پایه پلی اکریلونیتریل<sup>۱</sup>
- بر پایه قطران میان فاز<sup>۲</sup>

<sup>1</sup> PAN based

<sup>2</sup> Mesophase pitch based

- بر پایه قطران پی وی سی<sup>۱</sup>

- بر پایه ریونی<sup>۲</sup>

### ۳-۱-تاریخچه الیاف کربن

پیدایش الیاف کربن به سال ۱۸۷۹ بر می گردد، یعنی زمانی که توماس ادیسون استفاده از این الیاف را در لامپ های الکتریکی گزارش کرد. الیاف کربن نخستین بار توسط شرکت US union carbide corporation و US air force material lab در سال ۱۹۵۹ از الیاف ریون تولید شد. و در سال ۱۹۶۰ تشخیص داده شد که الیاف کربن در بسیاری از کاربردهای صنعتی می تواند به عنوان تقویت کننده به کار رود از آن زمان تاکنون پیشرفت های زیادی در فرایند ساخت و تولید این الیاف توسط کارهای تحقیقاتی انجام شده در آمریکا، ژاپن و انگلستان صورت گرفته است [۲].

در سال ۱۹۶۰ برای اولین بار الیاف کربن بر پایه پلی اکریلونیتریل (PAN) در ژاپن و انگلستان و بر پایه قطران در ژاپن و آمریکا تولید شد. الیاف کربن به وسیله محدوده وسیعی از مواد اولیه سازنده، از مواد طبیعی گرفته تا مواد مصنوعی ترموموست یا ترموبلاست مانند اکریلونیتریل، قطران میان فازی، ریون قابل تولید است. از میان مواد اولیه ذکر شده پلی اکریلونیتریل ترجیح داده می شود. قیمت پایین تر، وزن کم تر، مقاومت و سختی بیشتر الیاف نهایی از مزایای استفاده از پلی اکریلونیتریل به عنوان ماده اولیه است اما به طور کلی الیاف کربن تولید شده از پلی اکریلونیتریل درصد کربونیزاسیون پایین تری نسبت به مواد اولیه آروماتیکی چون قطران، فنول، پلی بنزایمیدال، پلی ایمید و ... دارد. درصد کربن نمایی در الیاف کربن تا حد زیادی بستگی به ساختار شیمیایی و مورفولوژی الیاف اولیه سازنده دارد [۳؛ ۴]. تحقیقات نشان داده است که الیافی که بر پایه پلی اکریلونیتریل تولید می شوند دارای بیشترین استحکام و الیافی که بر پایه قطران زغال سنگ تولید می شوند بیشترین الاستیسیته را دارا هستند [۳].

به منظور تولید الیاف کربن با کارایی بالا برای کاربرد در بخش های مختلف فن آوری مدرن<sup>۳</sup> مانند تولید کامپوزیت برای ساخت اتومبیل ها، ساختمان سازی، وسایل ورزشی و صنعت هوا و فضا، مطالعات بسیار زیادی بر روی مواد اولیه سازنده صورت گرفته است. فرایندهایی همچون تر - خشک ریسی<sup>۴</sup>، کشش تحت بخار، افزایش وزن مولکولی پلیمر اولیه، اصلاح ماده اولیه قبل از

<sup>1</sup> PVC pitch based

<sup>2</sup> Rayon based

<sup>3</sup> High- tech

<sup>4</sup> Wet-dry spinning

پایدار شدن و ... بر روی الیاف اولیه سازنده صورت گرفته است. کیفیت الیاف کربن با کارایی بالا تا حد زیادی به ساختار و کیفیت الیاف اولیه بستگی دارد [۵].

برای تولید الیاف کربن با کارایی بالا بایستی به هر دو ساختار فیزیکی و شیمیایی الیاف اولیه تا حد امکان بهینه شود. کیمی و همکارانش به وسیله استفاده همزمان از دو ماده اولیه قطران و پلی اکریلونیتریل موفق به تولید الیافی دو فازی شدند که دارای خصوصیات منحصر به فردی بود. او نتیجه گرفت که خصوصیاتی همچون قطر، بازده نهایی کربن<sup>۱</sup> و رسانایی الکتریکی الیاف به دست آمد، با افزایش بخش قطران، زیاد می شود [۶].

#### ۴-۱- طبقه بندی الیاف کربن

تکنولوژی تولید الیاف کربن، پیرولیز ترکیبات آلی در دمای بالا دریک محیط خنثی می باشد که در بخش های بعدی به تفصیل پرداخته خواهد شد. یکی از انواع طبقه بندی این الیاف بر اساس دمای نهایی پیرولیز یا فرآیند حرارتی (HTT)<sup>۲</sup> در طی فرآیند تولید می باشد. بر اساس این طبقه بندی الیاف کربن به ۳ دسته تقسیم می شوند [۷]:

##### ۱. الیافی که به طور ناکامل کربونیزه شده اند:

دمای نهایی پیرولیز آنها در حدود  $500^{\circ}\text{C}$  و محتوای نهایی کربن در حدود ۹۰٪ است.

##### ۲. الیاف کربونیزه شده:

دمای نهایی پیرولیز آنها  $1500-500^{\circ}\text{C}$  و محتوای کربن آن ها ۹۹-۹۱٪ می باشد.

##### ۳. الیاف گرافیتی شده:

این الیاف یک مرحله نهایی گرافیتی شدن را در دمای  $3000-2000^{\circ}\text{C}$  پشت سر می گذارند تا محتوای کربن آن ها به ۹۹٪ برسد.

#### ۵-۱- خصوصیات الیاف کربن

خصوصیات نهایی الیاف کربن تولید شده به عواملی همچون ماده پلیمری اولیه، شرایط پایدارسازی، شرایط کربونیزاسیون و مواد اضافی مورد استفاده بستگی دارد. در ادامه بعضی از مهم ترین خصوصیات این الیاف توضیح داده می شود [۸].

<sup>1</sup> Carbon yield

<sup>2</sup> High Treatment Temperature

### ۱-۵-۱- خصوصیات مکانیکی

الیاف کربن بر پایه PAN مدول یانگی در حدود  $400 \text{ Gpa}$  –  $200 \text{ Gpa}$  در محور طولی خود دارا هستند و در محور عرضی مدول یانگ در حدود  $25 \text{ Gpa}$  –  $5 \text{ Gpa}$  و مقاومت فشاری  $6 \text{ Gpa}$  را دارا هستند. مدول یانگ در الیاف کربن به آرایش یافتگی صفحات گرافیتی در الیاف بستگی دارد در حالی که مقاومت الیاف به علت نیروهای بین الیاف است[۸].

### ۱-۵-۲- پایداری شیمیایی

یکی از خصوصیات مهم الیاف کربن که باعث کاربرد آن در بسیاری از زمینه ها شده است، پایداری آن در مقابل مواد شیمیایی است. شواهد نشان داده است که با افزایش دمای نهایی فرایند حرارتی مقاومت در برابر اسید افزایش پیدا می کند چرا که در اثر افزایش دما پیوندهای شیمیایی بیشتری برقرار می گردد. با تکامل ساختار کربنی نفوذ مواد شیمیایی به داخل شبکه الیاف دشوارتر می شود. اگرچه در دمای اتاق و در مجاورت مواد فرساینده، حتی با گذشت زمان های طولانی، تنها تغییرات اندکی در ساختار لیف مشاهده می شود، اما افزایش دما باعث کاهش مقاومت لیف می شود. به خصوص اگر ماده شیمیایی از نوع اکسید کننده مانند اسیدنیتریک، سدیم هیپوکلراید و ... باشد[۸].

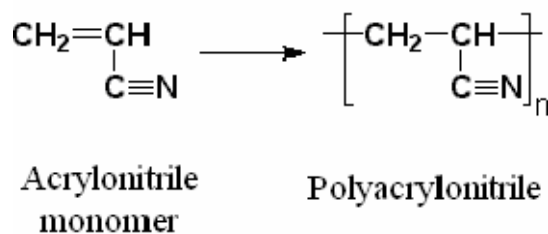
در سالهای اخیر فروش الیاف کربن رشد بسیار خوبی داشته است و انتظار می رود که در سالهای آینده نیز این روند چشمگیر باشد. میانگین نرخ رشد در  $23 \text{ سال}$  گذشته در حدود  $12\%$  بوده است. در  $4 \text{ سال}$  اخیر افزایش رشد روند سریع تری داشته است. بیش بینی می شود که الیاف کربن در سال  $2011$  در حدود  $12$  بیلیون دلار فروش داشته باشد[۹].

### ۱-۶-۱- ماده اولیه یا پیش ماده الیاف کربن

همانطور که در بخش های قبل گفته شد، الیاف اکریلیک مهم ترین پیش ماده الیاف کربن می باشد و در عین حال بیش از  $95\%$  الیاف کربن تولیدی در دنیا با استفاده از پیش ماده پلی اکریلونیتریل می باشد. از طرف دیگر ساختار و خواص الیاف اکریلیک اولیه تا حد زیادی تعیین کننده خواص الیاف کربن نهایی می باشد. بنابراین در این بخش به بررسی فرایند تولید پلی اکریلونیتریل می پردازیم.

### ۱-۶-۱-۱- پلی اکریلونیتریل (PAN) به عنوان ماده اولیه سازنده الیاف کربن

همانطور که می دانیم پلی اکریلونیتریل از اکریلونیتریل ساخته شده است که برای اولین بار توسط مورئو در سال  $1892$  تولید شد. ساختار شیمیایی پلی اکریلونیتریل در شکل ۱-۱ نشان داده شده است. پلی اکریلونیتریل یک پلیمر لاستیکی، رزینی و لیفی است که برای ساختن الیاف اکریلیک به کار می رود. علاوه بر این پلی اکریلونیتریل گاهی اوقات برای تولید بطری ها و سایر فرآورده های پلاستیکی مورد استفاده قرار می گیرد[۸].



شکل ۱-۱ : ساختار شیمیایی [۸]PAN

یکی از مهم ترین کاربردهای پلی اکریلونیتریل در تولید الیاف پلی اکریلونیتریل به عنوان ماده اولیه برای تولید الیاف کربن می باشد. هومopolیمر پلی اکریلونیتریل به عنوان الیاف در ساخت سیستم های فیلتراسیون گازی داغ، سایبانهای ببرونی، بادبان قایق های تفریحی و الیاف تقویت کننده بتون مورد استفاده قرار گرفته است. هومopolیمر پلی اکریلونیتریل برای اولین بار در سال ۱۹۴۰ با کشف حلال مناسب برای ساختن محلول ریسندگی توسط شرکت دوپنت به الیاف تبدیل شد.

رزین های ساخته شده از پلی اکریلونیتریل تقریباً همگی از کوپلیمرهایی ساخته شده اند که مونومر اصلی آن ها اکریلونیتریل است. پلی اکریلونیتریل مونومر اصلی بسیاری از کوپلیمرهای همچون استایرن اکریلونیتریل (SAN<sup>۱</sup>) یا پلاستیک اکریلونیتریل بوتاڈی ان استایرن ABS است. کوپلیمرهای حاوی پلی اکریلونیتریل اغلب به عنوان الیاف برای تولید لباس های کشافی مانند جوراب و عرق گیرها مورد استفاده قرار می گیرند. این الیاف با نام تجاری ارلان<sup>۲</sup> شناخته می شوند [۸].

الیاف PAN تولید شده در حال حاضر از حداقل ۸۵٪ درصد وزنی واحد اکریلونیتریل (AN) تشکیل شده اند. ۱۵ درصد باقی مانده شامل کومونومرهای خنثی یا یونی می باشد که برای بهبود خواص الیاف به آن افزوده می شوند. کومونومرهای خنثی مانند متیل اکریلات (MA)، و نیل استات (VA) و متیل متاکریلات (MMA)، برای اصلاح حلالیت کوپلیمرهای پلی اکریلونیتریل در حلal های ریسندگی، برای اصلاح مورفولوژی الیاف و برای بهبود نفوذ رنگ به داخل الیاف PAN به پلیمر افزوده می شوند. کومونومرهای یونی و اسیدی (مانند گروه های سولفونات (مثل SAMPs ، SMS ، SAS)، و سدیم استایرن سولفونات (SAS)، سدیم سولفوفنیل متالیل اتر (SMPE) می تواند برای افزایش خاصیت هیدروفیلی و افزودن مکانهای های جدید رنگ پذیر به انتهای گروه های عاملی به کار رود [۱۰].

<sup>۱</sup> Styrene – acrybnytrile<sup>۲</sup> Orlan